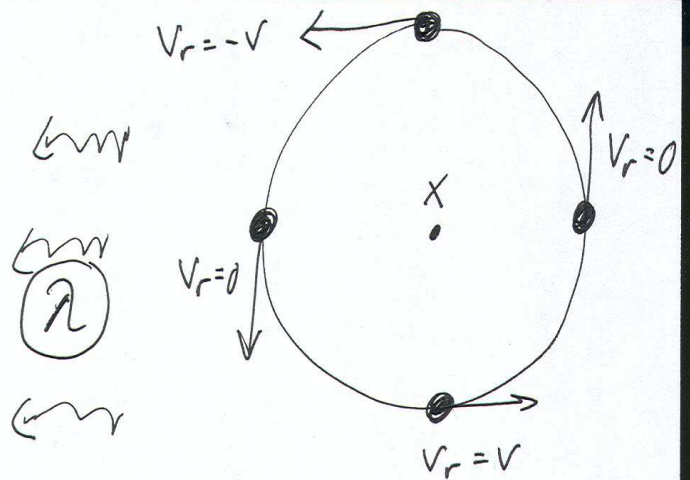


1.1)



Dopplerformelen gir $\frac{\Delta\lambda}{\lambda} = \frac{v_r}{c}$

Når stjerna kommer mot oss blir lyset blåforskoet ($\lambda' < \lambda$), når det går fra oss blir det rødforskoet ($\lambda' > \lambda$) og når den beveger seg ortogonalt på synsretningen ($v_r = 0$) er $\lambda = \lambda'$

Usikkerheter i observasjonene gjør at kurven ikke er glatt.

(NB! Mange har skrevet at varierende hastighet på partiklene i gassen er årsak til dette, det er IKKE tilfelle, det er så mange partikler i gassen at det ikke er noen forandring i midlere hast. over tid. Derimot vil det faktisk at ikke alle gasspartikler har den midlere hast. medføre at linjen blir bred.)

1.2)

Finer virkelige bølglengden til spektrallinje når $v_r = 0$ dvs. midt mellom topp og bunn i bølgen.

$$\text{Topp } \lambda_{\text{topp}} \approx 1300 \text{ nm}$$

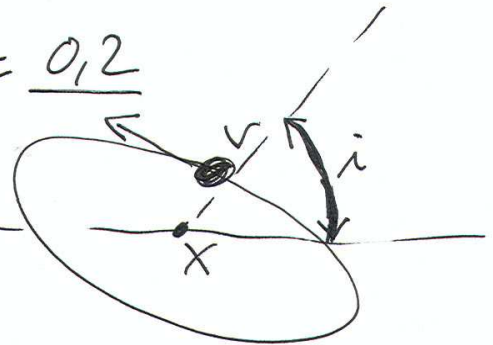
$$\text{Bunn } \lambda_{\text{bunn}} \approx 870 \text{ nm}$$

$$2\Delta\lambda \approx 1300 \text{ nm} - 870 \text{ nm} \approx 430 \text{ nm}$$

$$\Rightarrow \underline{\Delta\lambda \approx 215 \text{ nm}}$$

$$\text{Virkelige bølglengde } \lambda_0 = \lambda_{\text{bunn}} + \underline{\Delta\lambda} \approx 1085 \text{ nm}$$

$$\frac{v_r}{c} = \frac{\Delta\lambda}{\lambda_0} = \frac{215}{1085} \approx 0,2$$



i er inklinasjonen.

$$\text{Virkelig hast. } v = \frac{v_r}{\sin i}$$

Hvis $i \neq 90^\circ$ er $v > v_r$, derfor er v_r minste mulige v .

1.3) Energi-mom. 4-vektor: $P_\mu = (E, p_x, p_y, p_z)$

Har kun bev. i x-retning $p = p_x$

For fotoner: $E = |p|$

$\Rightarrow P_\mu = (E, -E, 0, 0)$ for fotoner
(med $p_x = -p$)

Foton energi $E = \frac{h}{\lambda}$ (braker $c=1$)

Stjernesystem $P_\mu = h \left(\frac{1}{\lambda}, -\frac{1}{\lambda}, 0, 0 \right)$

Värt system $P'_\mu = h \left(\frac{1}{\lambda'}, -\frac{1}{\lambda'}, 0, 0 \right)$

1.4) 4-vektorer transformeres med Lorentzmatrisen:

$$P_\mu = C_{\mu\nu} P'_\nu$$

(OBS! V_{rel} i Lorentzmatrisen er positiv ($V_{rel} = v$)
hvis syst. som observerer P_μ bevæger sig i
positiv x -retning i forhold til syst som obs. P'_μ)

$$\begin{pmatrix} \frac{1}{\lambda} \\ \frac{1}{\lambda} \\ 0 \\ 0 \end{pmatrix} = \begin{pmatrix} \gamma & -v\gamma & 0 & 0 \\ -v\gamma & \gamma & 0 & 0 \\ 0 & 0 & \sigma & 0 \\ 0 & 0 & 0 & \sigma \end{pmatrix} \begin{pmatrix} \frac{1}{\lambda'} \\ -\frac{1}{\lambda'} \\ 0 \\ 0 \end{pmatrix}$$

Første linje gir: $\frac{1}{\lambda} = (\gamma + v\gamma) \frac{1}{\lambda'}$ der $\gamma = \frac{1}{\sqrt{1-v^2}}$

$$\Rightarrow \frac{\lambda'}{\lambda} = \gamma(1+v) = \sqrt{\frac{1+v}{1-v}}$$

$$\text{eller } \frac{\Delta\lambda}{\lambda} = \frac{\lambda' - \lambda}{\lambda} = \underline{\underline{\sqrt{\frac{1+v}{1-v}} - 1}}$$

$$1.5) \quad \left(\frac{\Delta\lambda}{\lambda} + 1\right)^2 = \frac{1+v}{1-v}$$

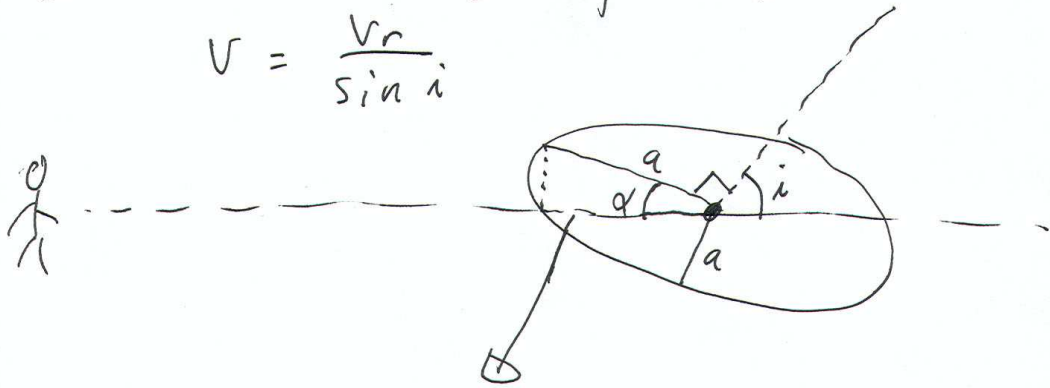
$$\Rightarrow (1-v) \left[\frac{\Delta\lambda}{\lambda} + 1\right]^2 = 1+v$$

$$\Rightarrow v = \frac{\left[\frac{\Delta\lambda}{\lambda} + 1\right]^2 - 1}{\left[\frac{\Delta\lambda}{\lambda} + 1\right]^2 + 1} \approx \underline{\underline{0,18}}$$

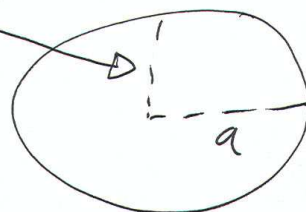
Omkring 10% feil, greit å bruke rel. f

1.6) Finner inklinasjonen for å finne v :

$$v = \frac{v_r}{\sin i}$$



Banen slik vi ser den:



~~Leser av fra fig.~~

$$\cos i = \frac{a \cos i}{a} = \frac{\frac{9}{2} \cdot 10^{-5} \text{''}}{\frac{19,5}{2} \cdot 10^{-5} \text{''}} \Rightarrow \underline{i \approx 62,5^\circ}$$

Leser av fra fig

$$\Rightarrow v = \frac{0,18}{\sin i} = \underline{0,2}$$

Vi bruker Kepler³ for å finne massen:

$$P^2 = \frac{4\pi^2}{GM} a^3 \quad \text{Leser av Periode fra fig } P \approx \underline{3,2h}$$

1.6 forts

v_i trenger baneradius a :

$$v = \frac{2\pi a}{P} \Rightarrow a = \frac{vP}{2\pi} \approx \underline{\underline{0,73 \text{ AU}}}$$

Fra Kepler $M = \frac{4\pi^2 a^3}{GP^2} \approx \underline{\underline{2,9 \cdot 10^6 M_\odot}}$

Avstand til sentrum av Melkeveien blir da

$$d \cdot \Delta\theta = a \Rightarrow d = \frac{0,73 \text{ AU}}{\frac{19,5 \cdot 10^{-5}'' \cdot \pi}{2 \cdot 3600 \cdot 180}} \approx \underline{\underline{7,51 \text{ kpc}}}$$

Vinkelradius til grå sone $\approx \frac{2,3 \cdot 10^{-5}''}{2}$

Radiusen til grå sone: $7,51 \text{ kpc} \cdot \frac{2,3 \cdot 10^{-5}''}{2} \cdot \frac{\pi}{3600 \cdot 180}$ ~~0,09 AU~~

$\approx 0,09 \text{ AU}$

$\approx \underline{\underline{2,7 M}}$

Hadde obj. vært innefor $r = 2M$

Hadde det vært et sort hull.

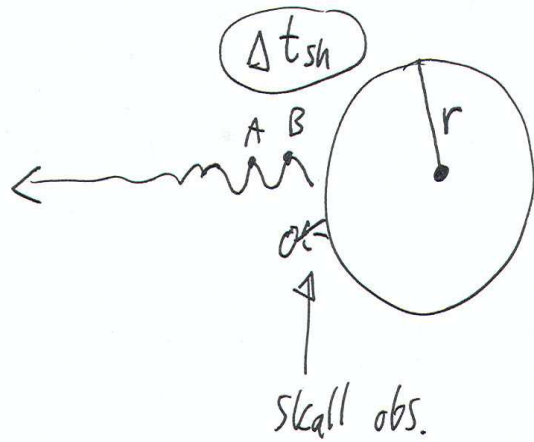
Er veldig nær...

NB! Mange har her skrevet at figuren tyder på at det er ellipsebane. Det er feil: Det står at vi skal anta sirkelbane. Ellipseformen må da skyldes inklinasjonen

1.7)



langt-vekk obs.

 Δt


Skall-obs. nær det sorte kullet og langt-vekk obs.
 Måler forskjellig frekvens $\nu = \frac{1}{\Delta t}$ fordi tidsintervall er forskjellig på klokkene til de to obs.

Formelen $\Delta t = \frac{1}{\sqrt{1 - \frac{2M}{r}}} \Delta t_{sh}$

gir forskjellen i tidsintervallet mellom to events på skallet med koordinat r (de to eventene kan være utsendelsen av to bølgetopper)

$$\lambda = \frac{1}{\nu} = \Delta t \Rightarrow \frac{\Delta t}{\Delta t_{sh}} = \frac{\lambda}{\lambda_{sh}} = \frac{\lambda'}{\lambda} = \frac{1}{\sqrt{1 - \frac{2M}{r}}}$$

$$\Rightarrow \frac{\Delta \lambda}{\lambda} = \frac{\lambda' - \lambda}{\lambda} = \frac{1}{\sqrt{1 - \frac{2M}{r}}} - 1$$

1.8) Finner r/M for punktet strålingen blir sendt ut fra.

$$\frac{\Delta\lambda}{\lambda} = 2 = \frac{1}{\sqrt{1-\frac{2M}{r}}} - 1 \Rightarrow 1 - \frac{2M}{r} = \frac{1}{9}$$

$$\Rightarrow \frac{r}{M} = \frac{9}{4}$$

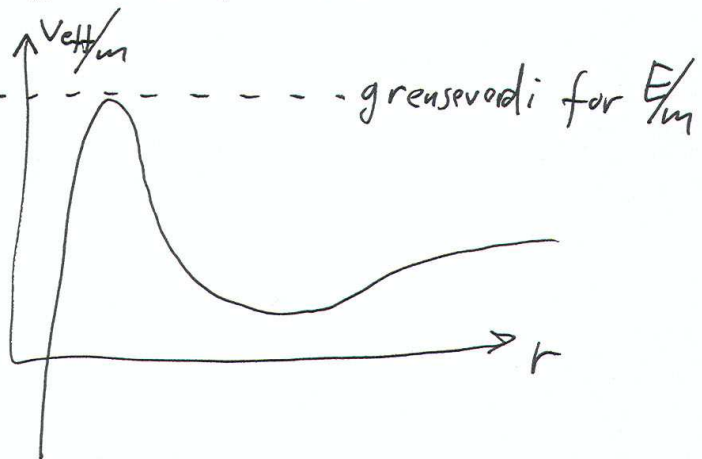
~~Det er~~ Dette er nesten $r/M = 2$ som betyr at lyset sannsynligvis blir sendt ut fra et sted nær horisonten til et sort hull, kanskje fra en akresjonskive.

1.9) Vi må finne ut om E/m er større

energi per masse

enn toppen i det effektive potensialet som

kan se sånn ut:



Vi har $V_{\text{eff}}(r) = \sqrt{\left(1 - \frac{2M}{r}\right) \left[1 + \left(\frac{L/m}{r}\right)^2\right]}$

Vi må først finne E/m og L/m

Rel. spinn $\frac{L}{m} = r^2 \frac{d\varphi}{dt_{\text{sh}}} = r^2 \frac{d\varphi}{dr} \cdot \frac{dr}{dt_{\text{sh}}} = r \cdot \left(\frac{r d\varphi}{dt_{\text{sh}}}\right) \cdot \left(\frac{dr}{dt_{\text{sh}}}\right)$
 $= v_{\varphi, \text{sh}} \cdot \gamma$

Her er: dt_{sh} = tidsintervall på klokken til obs. som står fast på koordinat r

r = Schwarzschildkoordinat $r = \frac{\text{omkrets}}{2\pi}$

dr = tidsintervall på klokken til infallende materie

Skallobs. bruker Lorentzgeometri (SR) og får:

$$\frac{dr}{dt_{\text{sh}}} = \gamma_{\text{sh}} \text{ fra SR der } \gamma_{\text{sh}} = \frac{1}{\sqrt{1 - v_{\text{sh}}^2}}$$

(v_{sh} er hast. målt av skallobs.)

$\frac{d\varphi}{dt_{\text{sh}}}$ er vinkelhast. obs. av skallobs $\Rightarrow v_{\varphi, \text{sh}} = \frac{r d\varphi}{dt_{\text{sh}}}$

1.9 forts) $V_{\phi,sh}$ er tang. hast.

$$\text{Fra fig: } V_{\phi,sh} = V_{sh} \cos \theta$$

$$\text{Dermed: } \frac{L}{m} = r V_{sh} \cos \theta \gamma_{sh}$$

$$\text{Rel. energi: } \frac{E}{m} = \left(1 - \frac{2M}{r}\right) \frac{dt}{d\tilde{r}} = \left(1 - \frac{2M}{r}\right) \frac{dt}{dt_{sh}} \frac{dt_{sh}}{d\tilde{r}}$$

$dt =$ tidsint. på klokken til langtvekk-obs.

$$\text{Fra formelsaml: } \frac{dt}{dt_{sh}} = \frac{1}{\sqrt{1 - \frac{2M}{r}}}$$

$$\text{Fra SR: } \frac{dt_{sh}}{d\tilde{r}} = \gamma_{sh}$$

$$\left. \begin{array}{l} \text{Fra formelsaml: } \frac{dt}{dt_{sh}} = \frac{1}{\sqrt{1 - \frac{2M}{r}}} \\ \text{Fra SR: } \frac{dt_{sh}}{d\tilde{r}} = \gamma_{sh} \end{array} \right\} \underline{\underline{\frac{E}{m} = \sqrt{1 - \frac{2M}{r}} \gamma_{sh}}}}$$

Finner nå topp i potensial ved

$$\frac{dV_{\text{eff}}}{dr} = 0$$

Lettere å bruke V_{eff}^2 :

$$\frac{dV_{\text{eff}}^2}{dr} = 0$$

Definerer $r = x \cdot M$ og $l = \frac{L}{mM}$

$$V_{\text{eff}}^2 = \left(1 - \frac{2}{x}\right) \left(1 + \frac{l^2}{x^2}\right)$$

$$\frac{dV_{\text{eff}}^2}{dx} \Rightarrow 2x^2 - 2l^2x + 6l^2 = 0$$

$$\Rightarrow x = \frac{1}{2}l^2 \left(1 \pm \sqrt{1 - \frac{12}{x^2}}\right)$$

Toppen (max) er for minste $r \Rightarrow x = \frac{1}{2}l^2 \left(1 - \sqrt{1 - \frac{12}{x^2}}\right)$

1.9 forts)

Koordinat $r = 0,73 \text{ AU} \approx 25,5 \text{ M}$

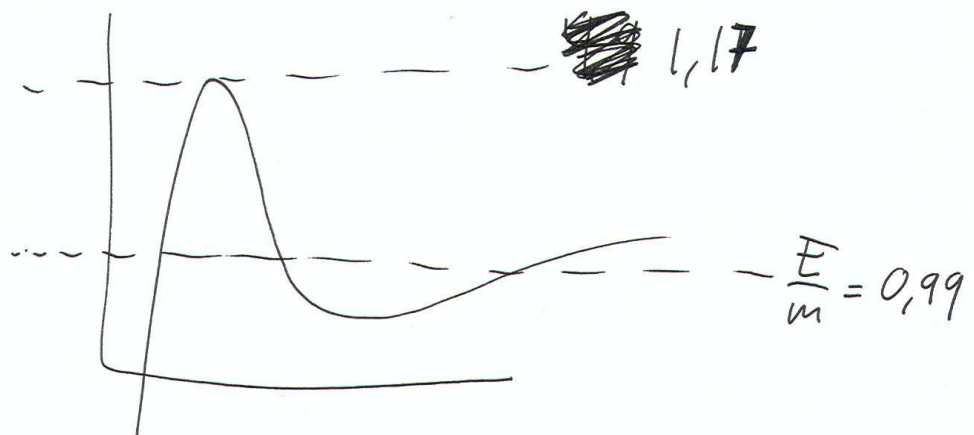
$$l = \frac{L}{m \dot{m}} = \underbrace{\ast}_{\downarrow 25,5} \cdot \underbrace{V_e}_{\downarrow \frac{7 \cdot 10^7 \text{ m/s}}{3 \cdot 10^8 \text{ m/s}}} \cos \theta \cdot \gamma_{sh} \approx \underline{\underline{5,3}}$$

$\theta = 30^\circ$

$$\frac{E}{m} = \sqrt{1 - \frac{2}{25,5}} \gamma_{sh} \approx \underline{\underline{0,99}}$$

~~V_{eff}~~ $X_{\text{top}} \approx \underline{\underline{3}}$

$$V_{\text{eff}}(X=3) = \underline{\underline{1,17}}$$



Faller ikke inn!

1.10) Vi bruker formelene

$$\Delta\varphi = \frac{L/m}{r^2} \Delta\tau$$

$$\Delta r = -\sqrt{\left(\frac{E}{m}\right)^2 - \left[1 + \left(\frac{L/m}{r}\right)^2\right] \left(1 - \frac{2M}{r}\right)} \Delta\tau$$

Som gir forandring i ~~φ~~ φ og r -koordinat for et lite tidssteg $\Delta\tau$ på klokka til infallende materie. (minus på Δr siden materien faller i negativ r -retning)

Vi starter med $r = 25,5M$

$$\varphi = 0$$

- Definerer arrayer for r og φ

FOR LØKKE

~~•~~-oppdaterer $r = r + \Delta r$

$$\varphi = \varphi + \Delta\varphi$$

- Øker $\Delta\tau$ med et lite tidsintervall

- Lagrer r og φ i arrayer

END FOR

Har nå arrayer¹³ for r og φ for hvert tidssteg $\Delta\tau$. Kan plote banen.